

อาการเส้นใบข่ายใหญ่และใบด่างประจำของพริก เกิดจากการเข้าทำลายของเชื้อ *Wild Tomato Mosaic Virus*

Vein-banding and leaf mottling of Chili caused by *Wild tomato mosaic virus*

ແພຣະຈຸ່ງ ທູ້ເຊີດ^{1,2}, ວິຈັຍ ໂພສີຕົວຕັນ^{1,2,3} ແລະ ສຸຈິນຕີ ຝັກຖຽງວຸດລ^{1,2,3*}
Prawrujee Chuchad^{1,2}, Wichai Kositratana^{1,2,3} and Sujin Patarapuwadol^{1,2,3*}

Abstract

Several potyviruses have been associated with disease symptoms in Chili including, *Chili veinal mottle virus* (ChiVMV), *Pepper mottle virus* (PepMoV), *Potato virus Y* (PVY) and *Tobacco etch virus* (TEV). This study aimed to collect and identify Potyviruses infecting Chili in Kanchanaburi province, Thailand. Total of 78 leaves of infected plants displayed symptoms of dark green banding along veins, mosaic, leaf mottling and leaf malformation had been collected from field infected chili. Ca1337, an isolate of the virus was obtained via a local lesion on *Nicotiana glutinosa* and reproduced the same symptoms on inoculated *Capsicum* species (*C. annuum*, *C. baccatum*, *C. chinense* and *C. frutescens*), *Datura metel* and *Nicotiana tabacum* (cv. Whiteberley, var. Samsan NN and cv. Xanthi-nc). An electron microscopy revealed flexuous rod-shaped particles with approximate length 730 nm and one major protein of 30 kDa was detected on western blot analysis. The reverse transcription-polymerase chain reaction (RT-PCR) with universal primer set of potyvirus which is complimentary to the region of core CP gene (MV/IWCIEENG regions) of several potyvirus which expected the 770 bp – PCR product was also detected from Ca1337 RNA template and the amplicon was cloned and sequenced. Comparison of amplicon with the nucleotide sequences available from the NCBI database using BLAST showed 93% identity with *Wild tomato mosaic virus* (WTMV) isolate Laichau from Vietnam (GenBank Accession No. DQ851495). The specific primer set base on WTMV-Laichau coat protein gene was designed to complimentary to the region near the end of *Nlb* gene to 3'-untranslated region of WTMV. The expected 1,430 bp – PCR product was obtained from Ca1337 RNA templates and the amplicon was cloned, sequenced (GenBank Accession No. KF250353). The clone sequence of CP gene showed 86.6% nucleotide similarity and 93.2 % amino acid identity to the CP gene of WTMV-Laichau. The results of biological tests, virus particle size, western blot analysis, RT-PCR results, and CP gene sequence data revealed that these Chili plants were infected with WTMV. To our knowledge, this is the first evidence which found WTMV as a causal agent of vein-banding and leaf mottling in *Capsicum* spp.

Keyword: *Wild tomato mosaic virus*, WTMV, Potyvirus, Pepper diseases

¹ Center for Agricultural Biotechnology, Kasetsart University, Kamphaeng Saen Campus, Nakhon Pathom 73140, Thailand

² ຜູ້ຄວາມເປັນເລີດດ້ານເຖິງໂລຢີຂໍ້ວກພະເກົນ ສໍານັກພັດນາບັນທຶທີຕຶກຂໍາແລະວິຈັຍດ້ານວິທະຍາສາສົ່ງແລະເຖິງໂລຢີ ສໍານັກງານ
ຄະນະກຽມກາຮຽກອຸດມຕຶກຂໍາ ກຽງເທິພະຍາ 10900

² Center of Excellence on Agricultural Biotechnology: (AG-BIO/PERDO-CHE), Bangkok 10900, Thailand

³ ການວິທະຍາໂຄພື້ນ ດັນແກ່ທະກາດ ກໍາແພັງແສນ ມະວິທະຍາລິຍ່າເກົດສາຕົ່ງ ວິທະຍາເຊົດກໍາແພັງແສນ ນະຄຽມປະເມີນ 73140

³ Department of Plant Pathology, Faculty of Agriculture at Kamphaeng Saen, Kasetsart University, Kamphaeng Saen Campus, Nakhon Pathom 73140, Thailand

ຮັບເຮືອງ : ຕຸລາດຳ 2556

*Corresponding author: agrsujp@ku.ac.th

บทคัดย่อ

โพทีไวรัสที่พบเป็นสาเหตุของโรคในพริกมีหลายชนิด เช่น *Chili veinal mottle virus* (ChiVMV), *Pepper mottle virus* (PepMoV), *Potato virus Y* (PVY) และ *Tobacco etch virus* (TEV) การศึกษานี้มีวัตถุประสงค์เพื่อสำรวจและวิเคราะห์สาเหตุของโรคจากตัวอย่างใบพริกที่มีอาการคล้ายโรคที่เกิดจากเชื้อไวรัส ได้แก่ อาการต่างเขียวบริเวณเส้นใบเส้นใบขยายใหญ่ ในต่างลาย ในต่างประ และใบบิดเบี้ยวผิดรูปร่าง ในจังหวัดกาญจนบุรี จาก 78 ตัวอย่าง เมื่อปลูกเชื้อไวรัสดลงในพืชชนิดต่างๆ โดยวิธีกล สามารถแยกเชื้อไวรัสไอโซเลท Ca1337 จากอาการชุดแพลเดพาะแห่งใน *Nicotiana glutinosa* ได้ และเมื่อนำไปปลูกเชื้อทำให้เกิดอาการใบต่างประ อาการต่างเขียวบริเวณเส้นใบและเส้นใบขยายใหญ่ ในพริกสายพันธุ์ต่างๆ *C. annum*, *C. baccatum*, *C. chinense* และ *C. frutescens*, ลำโพง และ *Nicotiana tabacum* (cv. Whiteberley, var. Samsan NN และ cv. Xanthi-nc) ตรวจสอบลักษณะอนุภาคของเชื้อไวรัสไอโซเลท Ca1337 ด้วยกล้อง Transmission electron microscopy พบรากษณะอนุภาคไวรัสแบบท่อนยาดประมาณ 730 nm. และเมื่อวิเคราะห์ด้วยเทคนิค Western blot พบร่องตีนห้อมอนุภาคไวรัสเพียง 1 ชนิด ขนาดประมาณ 30 kDa จากการศึกษาลำดับนิวคลีโอไทด์ของเชื้อไวรัสไอโซเลท Ca1337 โดยใช้เทคนิค reverse transcription-polymerase chain reaction (RT-PCR) ด้วยไพรเมอร์ที่ออกแบบให้จำเพาะกับโพทีไวรัสบริเวณ core CP gene (MV/IWC1ENG regions) ถึง 3'-untranslated region (3'UTR) พบร PCR product ขนาด 770 bp เมื่อนำไปวิเคราะห์เปรียบเทียบกับเชื้อไวรัสในฐานข้อมูล NCBI พบรความเหมือนกันของลำดับนิวคลีโอไทด์ที่ 93% กับไวรัส *Wild tomato mosaic virus* (WTMV) ไอโซเลท Laichau ในประเทศไทย (DQ851495) จากนั้นออกแบบไพรเมอร์จากบริเวณปลาย Nib gene ของไวรัส WTMV ไอโซเลท Laichau ถึงบริเวณ 3'UTR เพิ่มปริมาณยืนดังกล่าวด้วยเทคนิค RT-PCR พบร PCR product ขนาด 1,430 bp (GenBank Accession No. KF250353) จากนั้นนำไปวิเคราะห์ลำดับนิวคลีโอไทด์และการลดละมิโนบริเวณ CP gene เปรียบเทียบกับจีโนมของโพทีไวรัสในฐานข้อมูล NCBI พบร่วมกับความเหมือนกันกับเชื้อโพทีไวรัส WTMV-Laichau ที่ 86.6% และ 93.2 % ตามลำดับ จากผลการศึกษาลักษณะอาการในพืชอาศัย ลักษณะและขนาดของอนุภาคไวรัสขนาดโปรดตีนห้อมอนุภาคไวรัส และลำดับนิวคลีโอไทด์ของเชื้อไวรัสไอโซเลท Ca1337 สามารถสรุปได้ว่าไวรัสไอโซเลท Ca1337 เป็นเชื้อไวรัส WTMV สายพันธุ์ที่เข้าทำลายพริก

คำนำ

เชื้อโพทีไวรัส (*Potyvirus species*) ที่พบการเป็นสาเหตุของโรคในพริก (*Capsicum spp.*) ได้แก่ *Chili ringspot virus* (ChiRSV) (Ha et al., 2008b), *Ecuadorian rocoto virus* (ERV) (Janzac et al., 2008), *Chili veinal mottle virus* (ChiVMV), *Pepper mild mosaic virus* (PMMV), *Pepper mottle virus* (PepMoV), *Pepper veinal mottle virus* (PVMV), *Pepper severe mosaic virus* (PepSMV), *Pepper yellow mosaic virus* (PepYMV), *Peru tomato mosaic virus* (PTV), *Potato virus Y* (PVY) และ *Tobacco etch virus* (TEV) (Green and Kim, 1991, Spetz et al., 2003, Adams et al.,

2011) ในประเทศไทยพบเชื้อโพทีไวรัสเข้าทำลายพริก ได้แก่ ChiVMV, PVY, TEV และ PepMoV (Green and Kim, 1991; Kittipakorn et al., 1993; Chiemsoabat et al., 1998 และ Tsai et al., 2008) นอกจากนี้ Ha et al. (2008a) ได้รายงานการพบเชื้อโพทีไวรัสชนิดใหม่คือ *Wild tomato mosaic virus* (WTMV) ที่เข้าทำลายมะเขือพวง (*Solanum torvum*) ในประเทศไทย และเชื้อ WTMV มีความสัมพันธ์ใกล้ชิดกับเชื้อไวรัส ChiVMV และ PVY ที่เข้าทำลายพริกมากที่สุด โดยจัดอยู่ในกลุ่มเดียวกันเมื่อวิเคราะห์ความเหมือนกันของลำดับนิวคลีโอไทด์ของยีนห้อมอนุภาคไวรัส

ลักษณะของเชื้อไวรัสใน Family *Potyviridae* มีลักษณะอนุภาคไวรัสแบบท่อนยาด ยาว 650-900 nm

ເສັ້ນຜ່າສູນຍື-ກລາງ 11-15 nm ຄວາມກວ້າງຂອງທ່ອນຄົດປະມານ 3.4 nm ແລະ ມີການສ້າງ cytoplasmic cylindrical inclusion (CI) bodies ໃນເຊີລ්ພື້ນທີ່ເຂົ້າທໍາລາຍ ການຈຳແນກເຂົ້ອໄວ້ຮັສ *Potyviridae* ອາສັຍຂໍ້ອມຸລືນິດຂອງແມລັງພາຫະ ແລະ ລັກຊະນະກາຮົດໄວ້ຮັສເຂົ້າສູ່ພື້ນ ຄວາມແຕກຕ່າງຂອງລັກຊະນະ inclusion bodies ພື້ນອາສັຍອາການ ແລະ ອຸນສົມບັດທາງເຊິ່ງວິທາຍາຂອງເຂົ້ອໄວ້ຮັສ ໂດຍເຂົ້ອໄວ້ຮັສໃນຈິນສົໂພທີໄວ້ຮັສ (genus *Potyvirus*) ມີອົບເວັ້ນເອເສັ້ນເດືອຍວາສາຍນວກ ຂະໜາດ 9.7 ກິໂລບັນ ຂະໜາດໂປຣຕິນໜ້ອທຸມອນຸການໄວ້ຮັສ (Coat protein) 30-47 kDa ໂດຍສ່ວນໄໝ່ມີເພີ້ມ່ອນເປັນແມລັງພາຫະແບບໄວ້ຮັສໄມ່ຄົງອູ້ຢູ່ໃນຕ້າງແມລັງ (non-persistent) ແລະ ສາມາຮັດໄວ້ທຸກຄົດໂດຍວິທີກລ (mechanical inoculation) (Adams *et al.*, 2011) ນອກຈາກນີ້ International Committee on Taxonomy of Viruses, ICTV (2011) ໄດ້ກຳນົດເກີນທີ່ການຈຳແນກເຂົ້ອໂພທີໄວ້ຮັສ ໂດຍ ອາສັຍຂໍ້ອມຸລືຈີໂນມຂອງເຂົ້ອໄວ້ຮັສໄດ້ດັ່ງນີ້ ເຂົ້ອໄວ້ຮັສໃນຈິນສົເດີຍວັກນີ້ ຈະມີລຳດັບນິວຄລືໄອໄທດົບຮົວເວັນ Open Reading Frame (ORF) ແມ່ນອັນກັນທີ່ຮະດັບ 50-55% ແລະ ເຂົ້ອໄວ້ຮັສຮະດັບສປີ້ສີເດີຍວັກນີ້ ຈະມີຄ່າຄວາມເໝືອນກັນຂອງລຳດັບນິວຄລືໄອໄທດົບຮົວເວັນຍື່ນທຸກໆອ່ານຸການໄວ້ຮັສ Coat protein (CP) ມາກກວ່າ 76% ແລະ ຄ່າຄວາມເໝືອນຂອງລຳດັບກຣດອະມິໂນທີ່ 79.6% ໃນຂະໜາດການຈຳແນກໃນຮະດັບສາຍພັນໜີ (strains) ຈະພິຈາລະນາຈາກລຳດັບນິວຄລືໄອ-ໄທດົບຮົວເວັນ 3'UTR ໂດຍມີຄ່າຄວາມເໝືອນກັນຂອງລຳດັບນິວຄລືໄອໄທດົບທີ່ 83-99% (Frenkel *et al.*, 1989 ແລະ Adams *et al.*, 2005) ການຕຶກຂາຍຮັກນີ້ ມີວັດຖຸປະສົງທີ່ເພື່ອການຕຶກວິນຈິຈັຍແລະຈຳແນກເຂົ້ອໂພທີໄວ້ຮັສທີ່ເຂົ້າທໍາລາຍພຣິກ ທີ່ມີລັກຊະນະອາການເສັ້ນໃນຂໍ້າຍໃໝ່ ໃນດ່າງປະ ແລະ ໃບົດເນັ້ນພິດຽວປ່າຍໃນແລ້ວ ປຸກພຣິກຈາກຈັງຫວັດກາງູນບຸງ

ອຸປະກອນົມແລະ ວິທີການ

ການເກີບຕ້ວຍຢ່າງ ແລະ ຕຶກສອບເຂົ້ອໄວ້ຮັສໃນຕ້ວຍຢ່າງໃນພຣິກທີ່ແສດງອາການດ່າງຕ້ວຍເກມນີກ PTA-ELISA

ເກີບຕ້ວຍຢ່າງໃນພຣິກທີ່ແສດງອາການໃບດ່າງ ໃນດ່າງປະ ເສັ້ນໃນຂໍ້າຍໃໝ່ ແລະ ໃບົດເນັ້ນພິດຽວປ່າຍໃນແລ້ວ ປຸກພຣິກໃນຈັງຫວັດກາງູນບຸງ ພ.ສ. 2555 ນຳຕ້ວຍຢ່າງດັ່ງກ່າວມາຕົວຈາກເຂົ້ອໄວ້ຮັສເປົ້ອງຕັ້ນຕ້ອງເກມນີກ Plate

Trapped Antigen-Enzyme Linked Immunosorbent Assay (PTA-ELISA) ຕາມວິທີການຂອງ Clark and Adams (1977) ໂດຍໃຊ້ແອນດີຫຼື່ມ໌ທີ່ຈຳເພາະຕ່ອເຂົ້ອ *Cucumber mosaic virus* (CMV), *Tobacco mosaic virus* (TMV) ແລະ ChiVMV ໂດຍໃຊ້ອັຕຣາເຈົ້າຈາກຂອງ ແອນດີຫຼື່ມ໌ທີ່ຈຳເພາະຕ່ອເຂົ້ອ CMV ແລະ TMV ທີ່ 1:1,000 ແລະ ຕ່ອເຂົ້ອ ChiVMV ທີ່ 1:2,000 ນອກຈາກນີ້ຢັ້ງມີການຕຽບສອບເຂົ້ອ PepMoV ແລະ PVY ໂດຍໃຊ້ໄພລືຄລອນອລແອນດີຫຼື່ມ໌ (Agdia Inc., Elkhart, IN, US)

ການແຍກເຂົ້ອໄວ້ຮັສໃຫ້ບຣິສຸທົ່ງແລະ ຖດສອບການເກີດໂຮກໃນພື້ນອາສັຍຕ່າງໆ

ຄັດເລືອກຕ້ວຍຢ່າງພຣິກທີ່ໃຫ້ຜົນວາກຕ່ອງການຕຽບສອບເຂົ້ອໄພທີໄວ້ຮັສ ChiVMV, PepMoV ແລະ PVY ດ້ວຍເກມນີກ PTA-ELISA ມາປຸກເຂົ້ອໄວ້ຮັສໃນພຣິກພັນໜີ CA500 (*C. annuum*) ແລະ ລຳໂພງດ້ວຍວິທີກລ (Mechanical transmission) ເພື່ອເພີ້ມປະມານແລະ ເກີບຮັກຂາຍເຂົ້ອໄວ້ຮັສ ຈາກນັ້ນນຳພື້ນທີ່ແສດງອາການດ່າງນັບດີໃນ 0.1M phosphate buffer, pH 7.0 ອັດຮາສ່ວນ 1:10 (w/v) ເຕີມ sodium sulfite (Na_2SO_3) 2% ແລະ ພົມຄາບອັນດຽມ 10% ປຸກເຂົ້ອໄວ້ຮັສບັນພື້ນທົດສອບ (indexing plants) ທີ່ແສດງອາການຈຸດແລລະພະແໜ່ງ (local lesion host) ໂດຍໃຊ້ *Chenopodium amaranticolor*, *Nicotiana glutinosa* ແລະ *N. tabacum* (cv. White Burley, var. Samsan NN ແລະ cv. Xanthi-nc) ເປັນພື້ນທົດສອບ ນຳຈຸດແລລະພະແໜ່ງມາປຸກເຂົ້ອໃນພຣິກພັນໜີ CA500 ແລະ ລຳໂພງເພື່ອເພີ້ມປະມານເຂົ້ອໄວ້ຮັສກອນທີ່ຈະນຳມາຖດສອບການເກີດໂຮກໃນພື້ນອາສັຍດັ່ງນີ້ *C. annuum* (CA446, CA500, CA758, CA942, CA1131, CA1258, CA1414 ແລະ Tawee60), *C. baccatum* (CA1316 ແລະ CA1326), *C. chinense* (CA741, CA918 ແລະ CA1736), *C. frutescens* (12 ແລະ 38), *Chenopodium amaranticolor*, ລຳໂພງ (*Datura metel* L.), *Nicotiana glutinosa*, *N. tabacum* (cv. White Burley, var. Samsan NN ແລະ cv. Xanthi-nc), *Lycopersicon esculentum* Mill. (Perfect Gold, CLN3125, PT4225, ສີດາທີພິບ 3, ສີດາທີພິບ 4 ແລະ ສີດາທີພິບ 92), *L. esculentum* var. *cerasiforme* (CHT603 ແລະ CHT608), *Solanum*

melongena L. (Mini purple oblong Eggplant, สุพรรณ 1, Fullness 1505 และ Farmers long 704), *S. torvum* Swartz., *S. xanthocarpum* Schrad. & Wendl., *Cucumis melo* L. var. *cantaloupensis*, *C. sativus* L., *Vigna unguiculata* subsp. *sesquipedalis* และ *Euphorbia hirta* L. สังเกตอาการและตรวจสอบเชื้อไวรัส ChiVMV, PepMoV และ PVY ด้วยเทคนิค PTA-ELISA

ศึกษาลักษณะสัณฐานวิทยาของอนุภาคไวรัสภายใต้กล้องจุลทรรศน์อิเล็กตรอนแบบส่องผ่าน

นำเชื้อไวรัสไอโซเลท Ca1337 ที่ผ่านการแยกเชื้อให้บริสุทธิ์ และเพิ่มปริมาณในพريกพันธุ์ CA500 และลำโพง มาศึกษาลักษณะทางสัณฐานวิทยาด้วยวิธี Leaf-dip โดยบดในพีซใน 0.05M PBS buffer, pH 7.4 อัตราส่วน 1:10 (w/v) ปั่นเหวี่ยงที่ 6,000 rpm นาน 5 นาที นำส่วนไสหยอดบนกริด (grid) ที่ผ่านการเคลือบด้วยสาร Formvar เป็นเวลา 1 นาที จากนั้นย้อมสีอนุภาคไวรัสด้วย uranyl acetate เป็นเวลา 1 นาที ขึ้บด้วยกระดาษกรอง รอให้แห้ง จากนั้นตรวจสอบอนุภาคไวรัสด้วยกล้องจุลทรรศน์อิเล็กตรอนแบบส่องผ่าน (Transmission Electron Microscope; TEM) (Model JEM-1230; Jeol, Tokyo, Japan)

ตรวจสอบเชื้อไวรัสในตัวอย่างใบพريกที่แสดงอาการใบต่างด้วยเทคนิค Western blot

โดยเตรียมตัวอย่างจากใบพีซบดใน PBS buffer, pH 7.4 อัตราส่วน 1:10 และแยกขนาดโปรตีนด้วยเทคนิค SDS-Polyacrylamide Gel Electrophoresis (SDS-PAGE) ตามวิธีการของ Robertson *et al.* (1997) และตรวจสอบโปรตีนของเชื้อไวรัส WTMV ในพีซ โดยใช้แอนติบอดี้ต่อเชื้อ ChiVMV ในการตรวจสอบด้วยเทคนิค Western blot ตามวิธีการของ Sambrook and Russell (2001)

การตรวจสอบเชื้อด้วยเทคนิค RT-PCR ด้วยการเพิ่มปริมาณยีน CP

การสกัด total RNA จากใบพีซโดยดัดแปลงวิธีการสกัด RNA รวมตามวิธีการของ Monthatip *et al.* (2009)

และใช้ total RNA ที่สกัดได้เป็นต้นแบบสำหรับสังเคราะห์ cDNA โดยวิธี Reverse transcription (RT) ด้วยชุดสำเร็จรูป Revert AidTM First strand cDNA Synthesis Kit #K1622 (Fermentus, Burlington, Canada) เพิ่มปริมาณ cDNA โดยวิธี Polymerase chain reaction (PCR) ด้วยไพรเมอร์ในตารางที่ 1 และตรวจสอบ PCR product โดยใช้ 0.8% agarose gel electrophoresis ใน 0.5X TBE buffer ที่ความต่างศักย์คงที่ 100 โวลต์ เป็นเวลา 40 นาที ย้อมเจลด้วย EtBr และตรวจดูด้วยเครื่อง UV illuminator

การวิเคราะห์ลำดับนิวคลีโอไทด์ของยีน CP และบริเวณ 3'UTR ของเชื้อ Ca1337 เพื่อใช้จำแนกชนิดไวรัส

เพิ่มปริมาณชิ้นส่วนของยีน CP และ 3'UTR ด้วยไพรเมอร์ที่จำเพาะต่อเชื้อ WTMV ด้วยเทคนิค RT-PCR ตรวจสอบ PCR product ได้โดยใช้ 0.8% agarose gel electrophoresis ใน 0.5X TBE buffer ที่ความต่างศักย์คงที่ 100 โวลต์ เป็นเวลา 40 นาที สกัด PCR product เป้าหมายโดยใช้ชุดสกัด QIAquick[®] Gel Extraction Kit #28704 (QIAGEN, Hilden, Germany) เชื่อมต่อชิ้นส่วน DNA เข้าสู่พลาสมิດพาหะ pGEM[®]-T Easy vector (Promega, Madison, USA) ย้ายพลาสมิດสายพสม (recombinant plasmids) เข้าสู่เซลล์แบคทีเรีย *E. coli* สายพันธุ์ DH5α โดยวิธี heat shock transformation คัดเลือกโคลนของพลาสมิດสายพสมตามวิธี Blue-white colony selection และสกัด DNA plasmids โดยใช้ QIAprep[®] Spin Mini Kit (250) (QIAGEN, Chatsworth, CA, USA) จากนั้นนำ DNA plasmids ที่สกัดได้ส่งวิเคราะห์ลำดับนิวคลีโอไทด์ โดยใช้ไพรเมอร์ T7 promoter และ SP6 ซึ่งเป็น sequencing primer ของ pGEM[®]-T Easy vector นำลำดับนิวคลีโอไทด์ที่วิเคราะห์ได้ จำแนกบริเวณของ vector ด้วยโปรแกรม VecScreen และเปรียบเทียบลำดับนิวคลีโอไทด์ของไวรัส ด้วยโปรแกรม Blast ผ่านเครือข่ายอินเตอร์เน็ต The National Center for Biotechnology Information (NCBI) (<http://www.ncbi.nlm.nih.gov/>) ศึกษาลำดับกรดอะมิโนโดยใช้โปรแกรม EMBOSS Sixpack ผ่านเครือข่าย

EMBL-EBI (<http://www.ebi.ac.uk/services>) จากนั้นศึกษาความสัมพันธ์ทางพันธุกรรมของเชื้อไวรัส ที่แยกได้เปรียบเทียบกับเชื้อโพทีไวรัส มีรายงานบนฐานข้อมูลของ NCBI และศึกษา Phylogenetic tree ด้วยวิธี Neighbor-Joining method ที่ค่า bootstrap 1,000 โดยใช้โปรแกรม DNAMan sequencer analysis v.8.0 Demo software (Lynnon BioSoft, Que., Canada)

ผลและวิจารณ์

การเก็บตัวอย่าง และตรวจสอบเชื้อไวรัสในตัวอย่าง ใบพริกที่แสดงอาการด่างด้วยเทคนิค PTA-ELISA

จากการสำรวจและเก็บตัวอย่างใบพริก (*Capsicum spp.*) ที่มีลักษณะอาการด่าง ใบด่างประ เส้นใบขยายใหญ่ และใบบิดเบี้ยวผิดรูปร่าง จังหวัดกาญจนบุรี พ.ศ. 2555 ทั้งสิ้น 78 ตัวอย่าง ตรวจสอบด้วยเทคนิค PTA-ELISA โดยใช้แอนติชีรั่มที่จำเพาะต่อเชื้อไวรัส CMV, TMV, ChiVMV, PepMoV และ PVY พบตัวอย่างที่ให้ผลบวก จำเพาะต่อ ChiVMV 11 ตัวอย่าง, CMV 10 ตัวอย่าง และพบตัวอย่างที่เกิดปฏิกิริยาทั้ง ChiVMV และ CMV 1 ตัวอย่าง ในการตรวจสอบครั้งนี้พบตัวอย่างใบพริกที่แสดงอาการของโรคไวรัสจำนวน 56 ตัวอย่าง ที่ไม่เกิดปฏิกิริยา กับแอนติชีรั่มที่นำมาใช้การทดสอบ ซึ่งอาการดังกล่าว อาจจะเกิดจากเชื้อไวรัสนิดอื่นๆที่ไม่ได้ตรวจสอบ

การแยกเชื้อไวรัสให้บริสุทธิ์และทดสอบการเกิดโรค ในพืชอาศัยต่างๆ

ตารางที่ 1 ไพรเมอร์ที่ใช้ในการศึกษาครั้งนี้

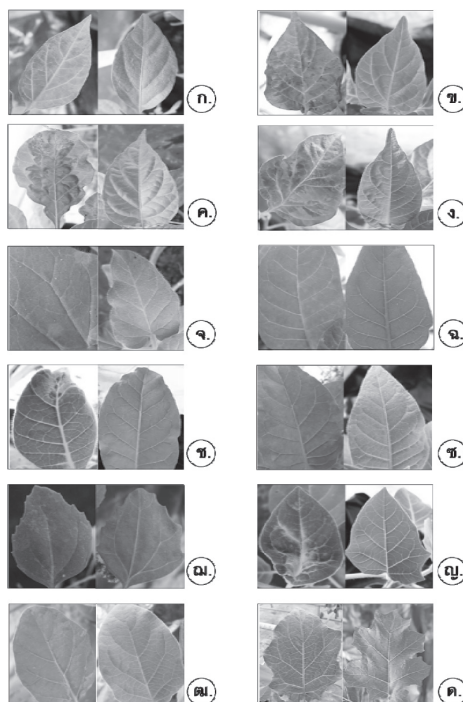
ชนิดไวรัส	ไพรเมอร์	ลำดับเบสของไพรเมอร์ 5'-3'	Tm (°C)	ขนาด ยีน (bp)	แหล่งที่มาของไพร เมอร์
Poty CP1F	Poty CP1F	ATGGTNTGGTGATNGANAATGG	53	650-800	จากงานวิจัยนี้
	Oligo(d)T1R	CTTCCGGG(T) ₁₈ VGC			
WTMV-CP	WTMV-CP	GGAATGGGATCGTGCTGA	55	~1400	จากงานวิจัยนี้
	Oligo(d)T1R	CTTCCGGG(T) ₁₈ VGC			
CVMV1037Pol	CVMV1037Pol	AGCATGGAGAGAGCGACATTAGTC	50	~1200	Tsai <i>et al.</i> , 2008
	Oligo(dT)	GCAGGGATCC(T) ₁₈			

คัดเลือกเฉพาะตัวอย่างที่เกิดปฏิกิริยา กับแอนติชีรั่มที่ใช้ในการตรวจสอบทั้งหมดปลูกเชื้อพริก และลำโพง เพื่อเพิ่มปริมาณเชื้อ พบตัวอย่างไอโซเลท Ca1337 แสดงอาการใบด่างประ และเส้นใบขยายใหญ่ คล้ายกับอาการที่เกิดจากเชื้อไวรัสทั้งบนพริกและลำโพง เมื่อแยกเชื้อไวรัสให้บริสุทธิ์ในพืชทดสอบ (indexing plants) ได้แก่ *Chenopodium amaranticolor*, *Nicotiana glutinosa* และ *N. tabacum* (cv. White burley, var. Samsan NN และ cv. Xanthi-nc) พบอาการใบด่างประและเส้นใบหดย่นในยาสูบ *N. tabacum* ทั้ง 3 สายพันธุ์ แต่ยาสูบ *N. glutinosa* พบอาการจุดแพลงเฉพาะแห้ง (Chlorotic lesion) ที่ 14 วัน หลังการปลูกเชื้อ จึงนำเชื้อไวรัสที่ได้เพิ่มปริมาณในพริก และลำโพง จากนั้นนำไปทดสอบการเกิดโรคในพืชอาศัยต่างๆ พบอาการใบด่างประบริเวณเส้นใบ เส้นใบขยายใหญ่ และเส้นใบหดย่น ต่อมายังพริกจะเห็นบิดเบี้ยวเสียรูปในพริก *C. baccatum* (CA1316 และ CA1326), *C. chinense* (CA741, CA918 และ CA1736) และมีอาการใบด่างประ เส้นใบขยายใหญ่และบิดเบี้ยวเสียรูปrunแรงในพริก *C. frutescens* (12 และ 38) ในขณะที่พริก *C. annuum* ระดับความรุนแรงของอาการขึ้นอยู่กับสายพันธุ์พริก ได้แก่ พันธุ์ CA446, CA1131 และ CA1258 ไม่พบอาการผิดปกติในพันธุ์ CA758 และ Tawee 60 พบอาการใบด่างประเล็กน้อย และพบอาการใบด่างประและเส้นใบขยายใหญ่รุนแรงในพันธุ์ CA500, CA942 และ CA1414 พืชชนิดอื่นที่แสดงอาการใบด่างประ แต่ในยาสูบ *N. glutinosa* พบอาการจุดแพลงเฉพาะแห้ง (ภาพที่ 1)

ขณะที่ไม่พบอาการในพืชดังต่อไปนี้ *S. torvum* Swartz., *S. melongena* L., *S. xanthocarpum* Schrad.& Wendl., *L. esculentum* Mill., *L. esculentum* var. *cerasiforme*, *C. amaranticolor*, *C. melo* L.var. *cantaloupensis*, *C. sativus* L., *V. unguiculata* subsp. *sesquipedalis* และ *E. hirta* L.) ซึ่งผลการทดสอบสอดคล้องกับผลการตรวจสอบด้วยแอนติซีรัมที่จำเพาะต่อเชื้อไวรัส ChiVMV, PepMoV, PVY, CMV และ TMV ด้วยเทคนิค PTA-ELISA พบตัวอย่างพืชที่แสดงอาการของโรคให้ผลบวกกับแอนติซีรัมที่จำเพาะกับ ChiVMV และ PVY (ตารางที่ 2)

โดยลักษณะอาการใบต่างประที่ปรากฏในยาสูบ *N. tabacum* และอาการจุดแพลแพะแห่งในยาสูบ *N. glutinosa* จากการปลูกเชื้อไวรัสไอโซเลท Ca1337

แตกต่างกับอาการที่เกิดจากเชื้อไวรัส ChiVMV ซึ่งจะแสดงอาการจุดแพลแพะแห่งในยาสูบ *N. tabacum* และแสดงอาการใบต่างประในยาสูบ *N. glutinosa* (Hussain et al., 2008) และลักษณะอาการที่แสดงในใบพริกพันธุ์ CA500 และลำโพง แตกต่างกับอาการที่เกิดจากเชื้อโพทีไวรัส ChiVMV ซึ่งจะแสดงอาการใบต่างสีเขียวอ่อนสลับเขียวเข้มระหว่างเส้นใบในพริกพันธุ์ CA500 และใบต่างระหว่างเส้นใบ ใบลีบเล็กเสียรูปในลำโพง (Patarapuwadol et al., 2011) จากการที่เชื้อไวรัสไอโซเลท Ca1337 ให้ผลบวกกับแอนติซีรัมที่จำเพาะกับเชื้อไวรัส 2 ชนิด ได้แก่ ChiVMV และ PVY จึงนำมาศึกษาจำแนกชนิดโดยวิธีการอื่นๆ ต่อไป



ภาพที่ 1 อาการพืชหลังปลูกเชื้อไวรัสไอโซเลท Ca1337 ที่ 30 วัน เปรียบเทียบกับพืชปกติ; (ก) *C. annuum* (CA1414), (ก') *C. baccatum* (CA1326), (ค) *C. chinense* (CA918), (ค') *N. glutinosa*, (จ) *N. tabacum* var. *Samsan* NN, (จ') *N. tabacum* cv. *White burley*, (ฉ) *N. tabacum* cv. *Xanthi-nc*, (ฉ') *Chenopodium amaranticolor* และ (ญ) *D. metel* L. (ญ') *S. melongena* L (Fullness 1505) และ (ด) *S. torvum* Swartz. (ภาพด้านซ้าย = พืชปกติ, ภาพด้านขวา = พืชปกติ)

តារាងទี่ 2 ផលការទស្សន៍នៃវិវឌ្ឍន៍សាច់តាមតម្លៃ ELISA, Western Blot និង RT-PCR នៃការវារកសម្រាប់តាមសាច់តាមតម្លៃ Ca1337 និងការត្រួតពិនិត្យអាជីវកម្មនៃសាច់តាមតម្លៃ ELISA, Western Blot និង RT-PCR

ឈូត ឯកសារតាមតម្លៃ	ឈូត ឯកសារ	ឈូត ឯកសារ	តាមតម្លៃការ	Infection ^{1/}	PTA-ELISA (60 min, absorbent 405 nm) ^{2/}				Western blot ^{3/}	RT-PCR ^{4/}	
					ChiVMV	PepMoV	PVV	CMV			
<i>Capsicum</i>	CA446	ឲ្យមិធម៌	សៀសាច់តាមតម្លៃ	0	0.237 (-)	0.103 (-)	0.122	0.110	-	-	
	CA500	ឲ្យមិធម៌	សៀសាច់តាមតម្លៃ	100	1.405	0.138 (-)	0.747	0.083	0.094	+	
	CA758	ឲ្យបៀវត្ស	សៀសាច់តាមតម្លៃ	75	0.851	0.100 (-)	0.561	0.081	0.091	+	
	CA942	ឲ្យបៀវត្ស	ឲ្យបៀវត្ស	0	1.572	0.137 (-)	0.762	0.083	0.099	n ^{7/}	
	CA1131	ឲ្យមិធម៌	សៀសាច់តាមតម្លៃ	0	0.231 (-)	0.093 (-)	0.120	0.097	0.103	-	
	CA1258	ឲ្យមិធម៌	សៀសាច់តាមតម្លៃ	0	0.183 (-)	0.080 (-)	0.080	0.079	0.081	-	
	CA1414	ឲ្យបៀវត្ស	សៀសាច់តាមតម្លៃ	100	1.927	0.173 (-)	0.785	0.088	0.091	+	
	Tawee60	ឲ្យបៀវត្ស	សៀសាច់តាមតម្លៃ	40	0.787	0.093 (-)	0.473	0.082	0.103	+	
	CA1316	ឲ្យបៀវត្ស	សៀសាច់តាមតម្លៃ	100	1.872	0.257 (-)	0.863	0.092	0.103	+	
	CA1326	ឲ្យបៀវត្ស	តាមតម្លៃ	100	1.596	0.145 (-)	0.816	0.088	0.109	+	
	CA741	ឲ្យបៀវត្ស	សៀសាច់តាមតម្លៃ	100	1.723	0.177 (-)	0.719	0.098	0.099	+	
	CA918	ឲ្យសៀសាច់តាមតម្លៃ	ឲ្យបៀវត្ស	100	1.833	0.245 (-)	0.776	0.104	0.114	+	
	CA1736	ឲ្យបៀវត្ស	សៀសាច់តាមតម្លៃ	80	1.862	0.187 (-)	0.791	0.097	0.098	+	
				100	1.600	0.139 (-)	0.747	0.104	0.108	+	
				100	1.924	0.299 (-)	0.867	0.118	0.122	+	
				0	0.105 (-)	0.087 (-)	0.072	0.084	0.096	+	
				100	0.689	0.133 (-)	0.320	0.083	0.087	+	
				0	0.234 (-)	0.093 (-)	0.114	0.095	0.096	-	
	Nicotiana	cv. var.	ឲ្យបៀវត្ស	ឲ្យបៀវត្ស	100	0.921	0.108 (-)	0.426	0.087	0.093	+
			ឲ្យបៀវត្ស	ឲ្យបៀវត្ស	80	1.804	0.150 (-)	0.637	0.089	0.098	+
			ឲ្យបៀវត្ស	ឲ្យបៀវត្ស	20	0.416	0.101 (-)	0.235	0.098	0.091	+
	Solanum	មានឱិកធម៌	ឲ្យមិធម៌	0	0.220 (-)	0.138 (-)	0.075	0.089	0.096	+	
	Blank			0.096 (-)	0.112 (-)	0.063	0.079	0.075	+	+	
	Positive control			1.329	0.918	1.424	1.471	1.408	+	+	

ตารางที่ 2 ผลการทดสอบเบื้องต้น ไวรัสโกรสโกรส Ca1337 ในการก่อโรคในพืชทดสอบ การตรวจเชื้อตัวยาทันที ELISA, Western Blot และ RT-PCR (ต่อ)

ชื่อ วิทยาศาสตร์	พืช ^{1/}	ลักษณะอาการ	% Infection ^{1/}	PTA-ELISA (60 min, absorbent 405 nm) ^{2/}				Western blot ^{3/}	RT-PCR ^{4/} WTMV- CVMV1037Poi
				ChiVMV	PepMoV	PVY	CMV		
WTMV-Ca1337 (Datura)	เส้นใบขบย่าให้ญี่ปุ่นดำ		0.723	0.110 (-)	0.372	0.082	0.096	+	+
ChiVMV-KPS9 (Datura)	ต่างประปริเวณแสงส่อง		0.652	0.124 (-)	0.130	0.094	0.103	+	+
Healthy-Pepper			0.208 (-)	0.099 (-)	0.108	0.104	0.106	-	-
Healthy-Tomato			0.245 (-)	0.110 (-)	0.095	0.080	0.082	-	ก
Healthy-Nicotiana			0.444 (-)	0.090 (-)	0.102	0.084	0.095	-	ก
Healthy-Datura metel			0.174 (-)	0.106 (-)	0.071	0.080	0.092	-	ก

^{1/}: คำนำผลจากการจัดงานนั่นพืชที่แสดงองค์การผู้ผลิตประดิษฐ์และสถาบันวิจัยไวรัสโกลเดล Ca1337^{2/}: ค่าเฉลี่ยในการทดสอบที่ 4 สปีเดาเพื่อหลังการเปลี่ยนเชื้อไวรัส โดยใช้ฟลักโอลอนอยส์จำเพาะกับชนิดของไวรัสในการทดสอบ^{3/}: ตรวจด้วยแอลกอฮอล์ที่จำเพาะกับไวรัส ChiVMV^{4/}: ผลการตรวจจัดหาเชิงพันธุ์ RT-PCR โดยใช้พาร์เซนต์ ChiVMV-CP และ CVMV1037Poi (Tsai et al., 2008)^{5/}: ตรวจไม่พบ หรือ ให้ผลลบปฏิริยาเป็นลบ

6/ : ๔ ๑ ๒ ๑ ๒ ๓

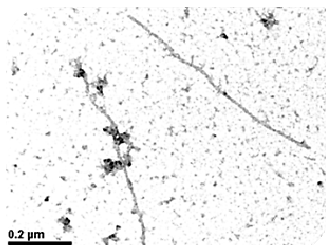
ศึกษาลักษณะสัณฐานวิทยาของอนุภาคไวรัสภายใต้กล้องจุลทรรศน์อิเล็กตรอนแบบส่องผ่าน

จากการตรวจสอบอนุภาคไวรัสจากใบพริกที่แสดงอาการของโรคภายใต้กล้อง TEM (ภาพที่ 2) พบนุภาคไวรัสสูงท่อนยาคต ขนาดประมาณ 730 nm ซึ่งตรงกับลักษณะของเชื้อโพทีไวรัสที่มีขนาดอนุภาคไวรัสแบบท่อนยาคต ยาวประมาณ 680-900 nm (Adams et al., 2011)

ตรวจสอบเชื้อไวรัสในตัวอย่างใบพริกที่แสดงอาการในด้านประดับยเทคนิค Western blot

จากการศึกษาขนาดของโปรตีนห่อหุ้มอนุภาคไวรัสของเชื้อไวรัสไอโซเลท Ca1337 เปรียบเทียบกับเชื้อไวรัส ChiVMV-KPS9 ด้วยเทคนิค Western blot ดังภาพที่ 3 พบนุภาคไวรัสเชื้อไวรัสไอโซเลท Ca1337 แตกต่างกับเชื้อไวรัส ChiVMV-KPS9 โดยมีขนาดโปรตีน

ห่อหุ้มอนุภาคประมาณ 30 kDa และ 32 kDa ตามลำดับแสดงให้เห็นว่าขนาดโปรตีนห่อหุ้มอนุภาคเชื้อไวรัสไอโซเลท Ca1337 มีขนาดเล็กกว่าเชื้อไวรัส ChiVMV-KPS9 ซึ่งมีขนาดตรงกับรายงานของ Wang et al. (2006) พบนุภาคไวรัส ChiVMV ที่สมบูรณ์ (full-length) ขนาด 32.8 kDa และจากรายงานของ Adams et al. (2011) เชื้อโพทีไวรัสจะมีขนาดโปรตีนห่อหุ้มอนุภาค 30-47 kDa ดังนั้นผลการศึกษานี้ร่วมกับข้อมูลลำดับนิวคลีโอไทด์ของยีนโปรตีนห่อหุ้มอนุภาคไวรัสที่มีขนาด 810 bp จะมีขนาดโปรตีนห่อหุ้มอนุภาคประมาณ 30 kDa ซึ่งสอดคล้องกับข้อมูลใน NCBI ที่รายงานว่า WTMV-Laichau มีโปรตีนห่อหุ้มอนุภาคไวรัสขนาด 30.525 kDa จึงสามารถระบุได้ว่าเชื้อไวรัสไอโซเลท Ca1337 เป็นเชื้อไวรัสในจีนส丕ทีไวรัสชนิดหนึ่ง

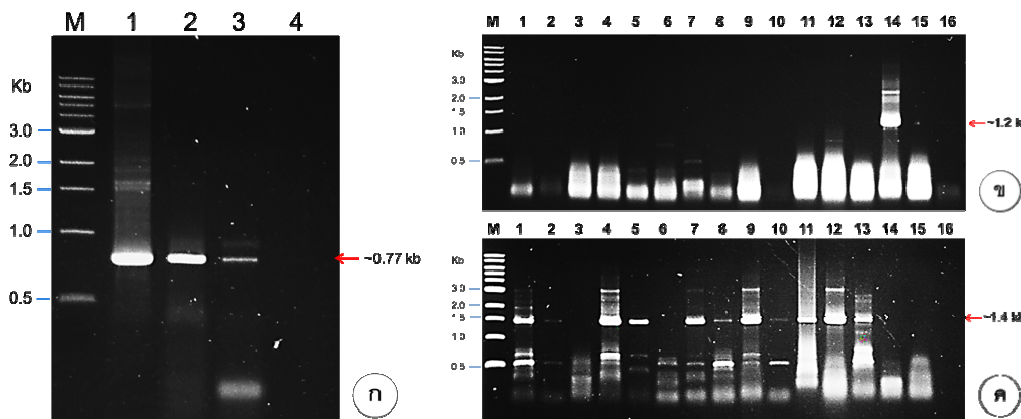


ภาพที่ 2 ลักษณะอนุภาคไวรัสไอโซเลท Ca1337 ภายใต้กล้อง TEM ที่กำลังขยาย 80,000 เท่า



ภาพที่ 3 ตรวจสอบโปรตีนห่อหุ้มอนุภาคไวรัสด้วยเทคนิค Western blot โดยตรวจด้วยแอนติบอดีที่จำเพาะต่อเชื้อ ChiVMV (ช่อง Marker: PageRuler™ Unstained Protein Ladder #SM0661 (Fermentas, Maryland, USA), ช่อง 1-5 เป็นพริกพันธุ์ต่างๆที่มีปลูกเชื้อ Ca1137 ดังนี้ 12, 38, CA446, CA500, CA741, ช่อง 6 พริกปกติ, โดยช่อง 7-8: N. tabacum var. Samsan NN, ช่อง 9-10: N. tabacum cv. Xanthi-nc และช่อง 11-12: N. tabacum cv. White burley ปลูกเชื้อและไม่ปลูกเชื้อไวรัสตามลำดับ), 1337: เชื้อไวรัสไอโซเลท Ca1337 และ KPS9: ChiVMV-KPS9 ในพริก

ChiVMV (ช่อง Marker: PageRuler™ Unstained Protein Ladder #SM0661 (Fermentas, Maryland, USA), ช่อง 1-5 เป็นพริกพันธุ์ต่างๆที่มีปลูกเชื้อ Ca1137 ดังนี้ 12, 38, CA446, CA500, CA741, ช่อง 6 พริกปกติ, โดยช่อง 7-8: N. tabacum var. Samsan NN, ช่อง 9-10: N. tabacum cv. Xanthi-nc และช่อง 11-12: N. tabacum cv. White burley ปลูกเชื้อและไม่ปลูกเชื้อไวรัสตามลำดับ), 1337: เชื้อไวรัสไอโซเลท Ca1337 และ KPS9: ChiVMV-KPS9 ในพริก



ภาพที่ 4 ผลการตรวจสอบพืชที่ปลูกเชื้อไวรัสไอโซเลท Ca1337 ด้วยเทคนิค RT- PCR โดยไพรเมอร์ต่างๆ ที่จำเพาะต่อ ยีน CP ดังนี้ (ก) ไพรเมอร์ Poty CP1F ซึ่งจำเพาะต่อเชื้อโพตี้ไวรัส โดยช่อง M: 1Kb DNA marker Biolabs 100 ng, 1: Ca1337 (plasmids), 2: Ca1337 (cDNA), 3: ChiVMV-KPS9 และ 4: ปฏิกิริยาควบคุมที่ไม่มีดีเอ็น เอตันแบบ (no template), (ข) ไพรเมอร์ CVMV1037pol ซึ่งจำเพาะต่อเชื้อ ChiVMV และ (ค) ไพรเมอร์ WTMV-CP ซึ่งจำเพาะต่อเชื้อ WTMV โดยทดสอบกับเชื้อไวรัสไอโซเลท Ca1337 ที่ปลูกเชื้อในพืชชนิดต่างๆ ดังนี้ M: 1Kb DNA marker Biolabs 200 ng, และช่อง 1-16 เรียงตามลำดับดังนี้: 12, 38, CA446, CA500, CA918, CA1131, CA1326, CA1414, CA1736, *D. metel* L., *N. tabacum* var. Samsan NN, *N. tabacum* cv. White burley, ไวรัสไอโซเลท Ca1337 ที่เพิ่มปริมาณเชื้อในลำโพง, เชื้อไวรัสเบรียบเทียบ ChiVMV-KPS9, พริกพันธุ์ CA500 ปกติ และปฏิกิริยาควบคุมที่ไม่มีดีเอ็น เอตันแบบ

การตรวจเชื้อด้วยเทคนิค RT-PCR ปริมาณยีน CP

จากการตรวจสอบเชื้อไวรัสไอโซเลท Ca1337 ที่แสดงอาการใบด่างประบนพริกด้วยเทคนิค RT-PCR โดยใช้ไพรเมอร์ Poty CP1F ซึ่งออกแบบให้จำเพาะกับบริเวณ core CP gene (MV/IWC1/ENG regions) ของเชื้อไวรัสใน จีนส์ *Potyvirus* โดยตำแหน่ง MV/IWC1/ENG motif ที่เป็น บริเวณที่มีความอนุรักษ์พันธุกรรมสูง (Conserved regions) ของจีนส์โพตี้ไวรัส (Langeveld et al., 1991) พบว่าไพรเมอร์ Poty CP1F สามารถสังเคราะห์เพิ่ม ปริมาณยีนที่มีขนาดประมาณ 770 bp (ภาพที่ 4ก) และ นำไปวิเคราะห์ลำดับนิวคลีโอไทด์ พบร่วมเป็นยีนบริเวณ core CP ถึง 3'UTR จากการเปรียบเทียบกับฐานข้อมูลใน NCBI พบเปอร์เซ็นต์ความเหมือนกันของลำดับนิวคลีโอ ไทด์กับเชื้อไวรัส WTMV isolate Laichau (DQ851495) ที่ 93% จึงออกแบบไพรเมอร์ WTMV-CP ที่จำเพาะกับ บริเวณปลาย N/b gene จนถึงบริเวณ 3' UTR ของเชื้อ ไวรัส WTMV เพื่อใช้ในการตรวจสอบเชื้อด้วยเทคนิค RT-

ด้วยการเพิ่ม

PCR และเปรียบเทียบกับไพรเมอร์ CVMV1037Pol ซึ่ง จำเพาะกับเชื้อไวรัส ChiVMV (Tsai et al., 2008) และมี รายงานการพบแพร่ระบาดของเชื้อไวรัส ChiVMV ใน ประเทศไทย (Kittipakorn et al., 1993; Siriwong et al., 1995; Tsai et al., 2008) และจากรายงานพบว่าเป็นเชื้อที่ ใกล้ชิดกับเชื้อ WTMV (Ha et al., 2008a) โดยไพรเมอร์ WTMV-CP สามารถสังเคราะห์ได้ขนาดประมาณ 1.4 kb จากพิกัดที่แสดงอาการหลังจากปลูกเชื้อไอโซเลท Ca1337 เท่านั้น และไพรเมอร์ดังกล่าวไม่สามารถเพิ่มปริมาณ CP gene ของพริกที่ปลูกเชื้อ ChiVMV-KPS9 ได้ ในขณะที่ ไพรเมอร์ CVMV1037 Pol สามารถสังเคราะห์ได้เงินของ เชื้อ ChiVMV-KPS9 ได้ขนาดประมาณ 1.2 kb แต่ไม่ สามารถเข้าจับและเพิ่มปริมาณเชื้อไวรัสไอโซเลท Ca1337 ที่ใช้ในการทดสอบได้ (ภาพที่ 4: ข-ค ช่องที่ 13 และ 14)

การวิเคราะห์ลำดับนิวคลีโอไทด์ของยีน CP และ บริเวณ 3'UTR ของเชื้อ Ca1337 เพื่อใช้จำแนกชนิด ไวรัส

จากการศึกษาลำดับนิวคลีโอไทด์ ของเชื้อโพทีไวรัสไอโอดีโซเลท Ca1337 โดยใช้เพรเมอร์ WTMV-CP สามารถสังเคราะห์ยีนบริเวณปลาย 5'UTR ได้ขนาด 1,430 bp เปรียบเทียบลำดับนิวคลีโอไทด์ที่ได้กับเชื้อไวรัสในฐานข้อมูล NCBI พบว่าเหมือนกับเชื้อโพทีไวรัส WTMV-Laichau (DQ851495; NC_009744) ที่ 86.7% และจากการเปรียบเทียบเฉพาะบริเวณ CP gene และ 3'UTR มีความเหมือนกันที่ 86.6% และ 93.4% ตามลำดับ นอกจากนี้พบว่าลำดับกรดอะมิโนของโปรตีนห่อหุ้มอนุภาคไวรัส (Coat protein) มีความเหมือนกันที่ 93.2% (ตารางที่ 3) ซึ่งการจำแนกในระดับสปีชีส์ของเชื้อโพทีไวรัสโดยใช้ CP gene จะต้องมีความเหมือนกันของลำดับนิวคลีโอไทด์และกรดอะมิโนอย่างน้อย 76% และ 79.6% ตามลำดับ และ 3'UTR อย่างน้อยที่ 76% (Adams et al., 2005) ดังนั้นเชื้อโพทีไวรัส ไอโอดีโซเลท Ca1337 สามารถจำแนกได้เป็นไวรัสในสปีชีส์ WTMV

จากการเปรียบเทียบกับเชื้อโพทีไวรัสที่ใกล้เคียงกันได้แก่ ChiVMV และ PVMV พบความเหมือนกันของลำดับนิวคลีโอไทด์บริเวณ CP gene เท่ากับ 69.9-73.9% และ 74.0-74.2% และความเหมือนกันของลำดับกรดอะมิโนเท่ากับ 82.1-84.2% และ 83.7-84.2% ตามลำดับ (ตารางที่ 3) โดยลำดับนิวคลีโอไทด์ของบริเวณ CP gene และ 3'UTR มีความต่างกันมากกว่าจะจำแนกให้เป็นสปีชีส์ ChiVMV และ PVMV ซึ่งสอดคล้องกับรายงานของ Ha et al. (2008a) ที่พบว่า WTMV มีความสัมพันธ์ใกล้ชิดกับเชื้อไวรัส ChiVMV และ PVMV และจากการศึกษา Phylogenetic tree โดยใช้บริเวณ CP gene ถึง 3'UTR ในการวิเคราะห์ความสัมพันธ์ทางพันธุกรรมเปรียบเทียบกับเชื้อโพทีไวรัสชนิดต่างๆ (ภาพที่ 5) พบว่าเชื้อไวรัสไอโอดีโซเลท Ca1337 จัดอยู่ในกลุ่มเดียวกับ WTMV และแยกกลุ่มออกจากเชื้อ ChiVMV และ PVMV เช่นเดียวกับรายงานของ Ha et al. (2008a)

ตารางที่ 3 เปอร์เซนต์ความเหมือนของ CP gene ถึง 3'UTR ของเชื้อไวรัส ChiVMV, PVMV, WTMV และเชื้อไวรัสไอโอดีโซเลท Ca1337

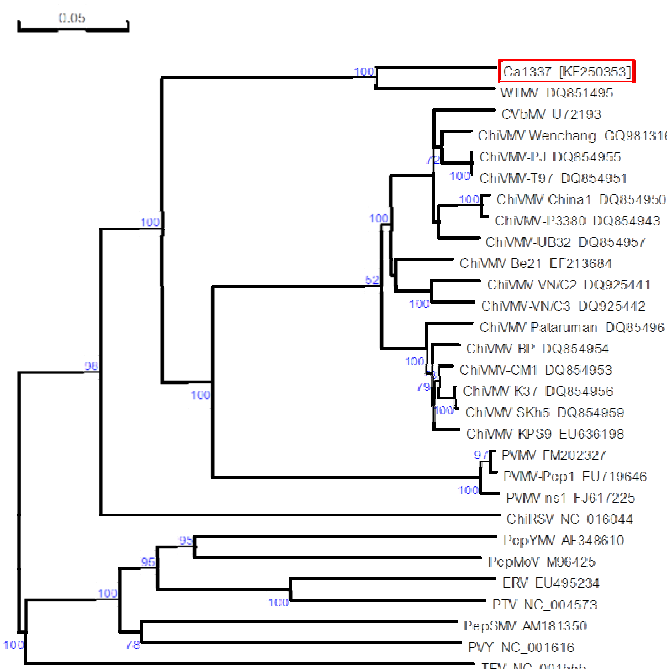
ไวรัสไอโอดีโซเลทเปรียบเทียบ กับไวรัส	WTMV ^{1/}	CP gene- 3'UTR		CP gene		3'UTR (%nt)
		(%nt)	(%nt)	(%aa)		
Ca1337	WTMV ^{1/}	89.2	86.6	93.2	93.4	
	ChiVMV ^{2/}	69.4-71.7	69.9-73.9	82.1-84.2	55.7-59.4	
	PVMV ^{3/}	69.4-69.6	74.0-74.2	83.7-84.2	47.2	
	Potyviruses ^{4/}	54.6-61.6	59.0-66.6	58.4-73.7	27.4-38.7	

1/ = WTMV-Laichau (DQ851495; NC_009744)

2/ = ChiVMV 35 ไอโอดีโซเลท (ข้อมูลจาก NCBI)

3/ = PVMV 3 ไอโอดีโซเลท (stian P, Pep1 and ns1)

4/ = Potyviruses; ChiRSV, ERV, PVY, PepMoV, PepSMV, PTV, PepYMV และ TEV (รายละเอียดในภาพที่ 5)



ภาพที่ 5 Phylogenetic tree ที่สร้างจากการวิเคราะห์ ลำดับนิวคลีโอไทด์บีริเวณ CP gene ถึง 3'UTR ของเชื้อไอโซเลต Ca1337 กับเชื้อโพทีไวรัสชนิดต่างๆที่เข้าทำลายพืช

สรุป

เชื้อ WTMV เป็นเชื้อโพทีไวรัส พบรายงานครั้งแรกในนามเชื้อพวง ที่ประเทศเวียดนาม จากการสำรวจโรคไวรัสพืชในจังหวัดกาญจนบุรี พบร่องรอยเชื้อไวรัสไอโซเลต Ca1337 ที่มีลักษณะอนุภาคไวรัสแบบหònยาวคด ยาวประมาณ 730 nm โปรตีนห้อหุ้มอนุภาคไวรัสขนาดประมาณ 30 kDa เมื่อทดสอบการก่อโรคในพืช C. baccatum, C. chinense และ C. frutescens พบร่องรอยในต่างประ เส้นใบขยายใหญ่ และใบบิดเบี้ยวเสียรูปในลำโพงและยาสูบพันธุ์ N. tabacum (cv. Whiteberley, var. Samsan NN และ cv. Xanthi-nc) นอกจากนี้ยังพบอาการจุดแผลเฉพาะแห่งในยาสูบพันธุ์ N. glutinosa แต่สามารถเกิดปฏิกิริยากับแอนติซิรัมที่จำเพาะกับเชื้อไวรัส ChiVMV และ PVY ที่ใช้ในการทดสอบ ผลจากวิเคราะห์ข้อมูลลำดับนิวคลีโอไทด์บีริเวณปลาย N/b gene - 3'UTR ขนาด 1,430 bp มีความเหมือนกันของลำดับนิวคลีโอไทด์กับเชื้อโพทีไวรัส WTMV-Laichau ที่ 86.7% และเปรียบเทียบลำดับนิวคลีโอไทด์ ทั้ง CP gene และเฉพาะ 3'UTR มี

ความเหมือนกันของลำดับนิวคลีโอไทด์กับเชื้อ โพทีไวรัส WTMV-Laichau ที่ 86.6% และ 93.4% ตามลำดับ จากผลการตรวจวิเคราะห์สามารถสรุปได้ว่า เชื้อไวรัสไอโซเลต Ca1337 ที่แยกเชื้อได้จากพืชคือเชื้อ Wild tomato mosaic virus โดยตั้งชื่อไวรัสไอโซเลต Ca1337 ใหม่เป็น WTMV-KAN และส่งบันทึกข้อมูลลำดับนิวคลีโอไทด์ของเชื้อนี้ในฐานข้อมูล GenBank โดยมีหมายเลขข้อมูลคือ KF250353

คำขอบคุณ

งานวิจัยนี้ได้รับการสนับสนุนจาก ศูนย์ความเป็นเลิศด้านเทคโนโลยีชีวภาพเกษตร สำนักพัฒนาบ้านที่ตีศึกษาและวิจัยด้านวิทยาศาสตร์และเทคโนโลยี สำนักงานคณะกรรมการการอุดมศึกษา และขอขอบคุณศูนย์วิจัยและพัฒนาพืชผักเขตร้อน (Tropical Vegetable Research Center) มหาวิทยาลัยเกษตรศาสตร์ วิทยาเขตกำแพงแสน ที่ให้ความอนุเคราะห์เมล็ดพันธุ์พืชและมะเขือเทศเพื่อใช้ในการทดสอบ

ເេកសារអ៉ាង់ອីង

- Adams, M.J., J.F. Antoniw and C.M. Fauquet. 2005. Molecular criteria for genus and species discrimination within the family Potyviridae. *Arch. Virol.* 150: 459–79.
- Adams, M.J., F.M. Zerbini, R. French, F. Rabenstein, D.C. Stenger and J.P.T. Valkonen. 2011. Family *Potyviridae*, pp 1069–1089. In A.M.Q. King, M.J. Adams, E.B. Carstens, E.J. Lefkowitz, eds. *Virus taxonomy: ninth report of the international committee on taxonomy of viruses*. Elsevier, New York.
- Chiemsobat, P., N .Sea-ung, S. Attahom. S. Patarapuwadol and P. Siriwong. 1998. Molecular Taxonomy of a new potyvirus isolated from chili pepper in Thailand. *Arch. Virol.* 143: 1855-1863
- Clark, M.F and A.N. Adams. 1977. Characteristics of the microplate method of Enzyme-linked immunosorbent assay for the detection of plant viruses. *J. Gen. Virol.* 34: 475-483.
- Frenkel, M.J., C.W. Ward and D.D. Shukla. 1989. The use of 3' non-coding nucleotide-sequences in the taxonomy of potyviruses – application to *Watermelon mosaic virus-2* and *Soybean mosaic virus-N*. *J. Gen. Virol.* 70: 2775–2783.
- Green, S.K. and J.S.Kim. 1991. Characteristics and control of viruses infecting peppers: a literature review. Asian Vegetable Research and Development Center. Technical Bullentin. Shanhua, Taiwan.
- Ha, C., P. Revill, R.M. Harding, M. Vu and J.L. Dale. 2008a. Design and application of two novel degenerate primer pairs for the detection and complete genomic characterization of potyviruses. *Arch. Virol.* 153: 25-36.
- _____. 2008b. Identification and sequence analysis of potyviruses infecting crops in Vietnam. *Arch. Virol.* 153: 45-60.
- Hussain, S., T. Yasmin, M. Fahim, S. Hameed and M.I. Haque. 2008. Transmission and host range studies of Pakistani isolate of *Chili veinal mottle virus*. *J. Pak. Bot.* 40: 2669-2681.
- ICTV. 2011. Committee on Taxonomy of Viruses. Available Source: <http://www.ictvonline.org/>, May 15, 2011.
- Janzac, B., M.F. Fabre, A. Palloix and B. Moury. 2008. Characterization of a new *Potyvirus* infecting pepper crops in Ecuador. *Arch. Virol.* 153: 1543-1548.
- Kittipakorn, K., N. Chiyoichi, N. Deema and S. Kladpan. 1993. Studies on pepper viruses and screening for resistance to certain pepper viruses, 331-340 p. in Proceedings of the 31th Kasetsart University Annual Conference: Plants. Kasetsart University, Bangkok. (in Thai)
- Langeveld, S. A., J. M. Dore, J. Memelink, A. F. Derks, C. I. van der Vlugt. 1991. Identification of *Potyviruses* using the polymerase chain reaction with degenerate primers. *J. Gen. Virol.* 72: 1531–1541.
- Monthatip, T., A. Bhunchoth, N. Warin, O. Chatshawankphanich and P. Burns. 2009. Cloning and expression of Ethylene response sensor 1 (Den-ERS1) gene of *Dendrobium 'Pompadour'* flower during development and senescence. *Agricultural Sci. J.* 42: 227-236. (in Thai)

- Patarapuwadol, S., W. Sompratoom, K. Sitatanee and S. Wasee. 2011. Effect of inheritance of resistance to *Chilli veinal mottle virus* isolate KPS9 (ChiVMV-KPS9) in pepper (*Capsicum annuum*). *Thai Phytopathol.* 25(1-2): 45-55. (in Thai)
- Robertson, D., G.P. Mitchell, J.S. Gilroy, C. Gerrish, G.P. Bolwell and A.R. Slabas. 1997. Differential extraction and protein sequencing reveals major differences in patterns of primary cell wall proteins from plants. *J. Biol. Chem.* 272: 15841–15848.
- Sambrook J. and D.W. Russell. 2001. Molecular Cloning, 3rd ed. Cold Spring Harbor Laboratory Press. Cold Spring Harbor, NY.
- Siriwong, P., K. Kittipakorn and M. Ikegami. 1995. Characterization of *Chili vein-banding mottle virus* isolated from pepper in Thailand. *Plant Pathol.* 44: 718-727.
- Spetz, C., A.M. Taboada, S. Darwich, J. Ramsell, L.F. Salazar and J.P.T. Valkonen. 2003. Molecular resolution of a complex of potyviruses infecting solanaceous crops at the center of origin in Peru. *J. Gen. Virol.* 84: 2565–2578.
- Tsai, W.S., Y.C. Huang, D.Y. Zhang, K. Reddy, S.H. Hidayat, W. Srithongchai, S.K. Green and F.J. Jan. 2008. Molecular characterization of the CP gene and 3'UTR of *Chilli veinal mottle virus* from South and Southeast Asia. *Plant Pathol.* 57: 408-416.
- Wang, J., Z. Liu, S. Niu, M. Peng, D. Wang, Z. Weng and Z. Xiong. 2006. Natural occurrence of *Chili veinal mottle virus* on *Capsicum chinense* in China. *Plant Dis.* 90: 377-377.